

CPM信号的非相干序列检测

一、背景知识

1.1 相干检测和非相干检测

接收信号时，有相干检测和非相干检测两种方法。对于接收到的信号 $S(t) = A\cos(\omega_c t + \phi) + N(t)$ 和载波 $\cos(\omega_c t + \phi')$ ，相干检测可以通过锁相环(phase lock loop)等方式使得 $\Delta\phi = \phi - \phi' \rightarrow 0$

这样恢复的信号就是 $Y_k = X_k + N_k$

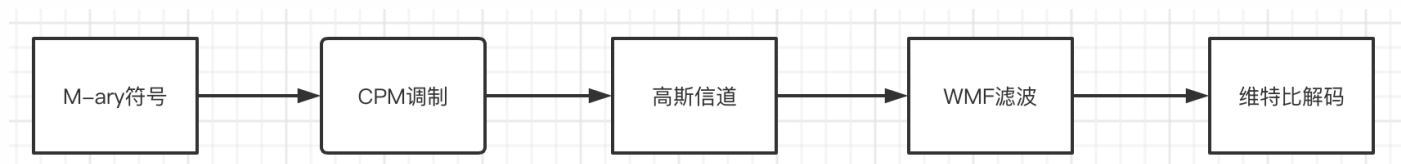
相干检测的解调效果较好，但是会有成本高等问题。而对于非相干检测，没有相位恢复这个过程，即 $\Delta\phi = \phi - \phi' \neq 0$

此时就不能单纯地用相干检测的方法恢复信号，因为此时得到的是 $Y_k = X_k e^{j\theta} + N_k$ ，而我们并不知道相位信息。如何将非相干检测的质量逼近相干检测，是一个很重要的问题[1]。

1.2 CPM信号

连续相位调制(continuous phase modulation)，即CPM，是一种重要的数学调制方式。不同于在每个符号发射时载波相位发生突变的调制方式，CPM载波的相位一直保持连续的状态。正因如此其可产生高频谱效率，它的主要缺点是最优接收器需要很高的实现复杂性[2]。

在论文《Noncoherent Sequence Detection of Continuous Phase Modulations》中，作者基于洛朗分解，将非相干检测应用在CPM调制信号中；并通过白化匹配滤波等方式，使非相干检测的结果非常逼近相干检测，且能够控制住复杂度。论文的整体框架如下：



以下将从信号发射、传输、接收三大方面介绍工作内容和思路。

二、信号发射

在发射端，需要进行CPM信号的生成与洛朗分解。

2.1信号生成

CPM信号的复包络有如下形式：

$$s(t, \vec{a}) = \sqrt{\frac{2E_s}{T}} \exp\{j2\pi h \sum_n a_n q(t - nT)\}$$

其中 E_s 是每个符号的能量； T 是符号周期； h 是调制系数(modulation index)， $h = k/p$ ， k 、 p 互质； $\{a_n\}$ 是需要传输的符号，取值自 M -ary表 $\{\pm 1, \pm 3, \dots, \pm(M-1)\}$ ， M 取偶数； $q(t)$ 是相位平滑相应函数(phase-smoothing response)，其导数 $g(t)$ 是频率脉冲函数(frequency pulse)。 $q(t)$ 有如下性质：

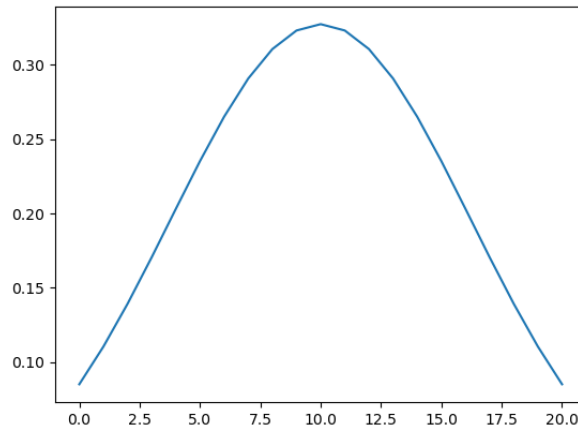
$$q(t) = \begin{cases} 0, & t < 0 \\ \int_0^t g(\tau) d\tau, & 0 \leq t \leq LgT \\ \frac{1}{2}, & t > LgT \end{cases}$$

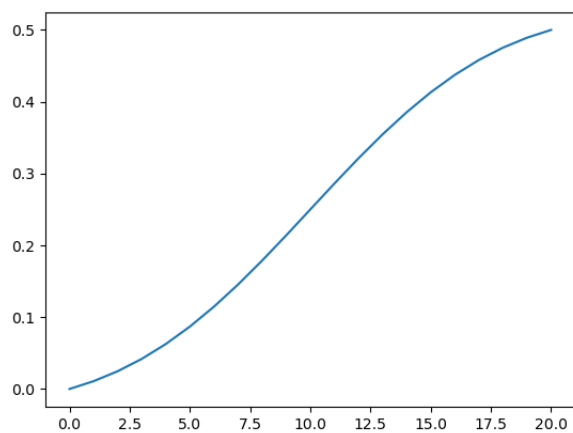
对于GMSK信号，有

$$g(t) = \begin{cases} \frac{1}{2T} [Q(2\pi B \frac{t-\frac{T}{2}}{\sqrt{\ln 2}}) - Q(2\pi B \frac{t+\frac{T}{2}}{\sqrt{\ln 2}})], & -\frac{LgT}{2} \leq t \leq \frac{LgT}{2} \\ 0, & \text{otherwise} \end{cases}$$

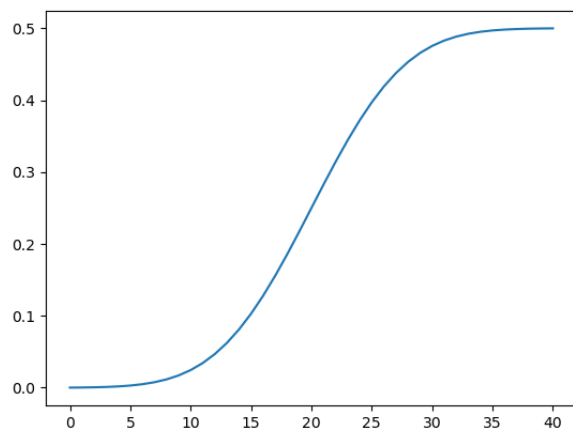
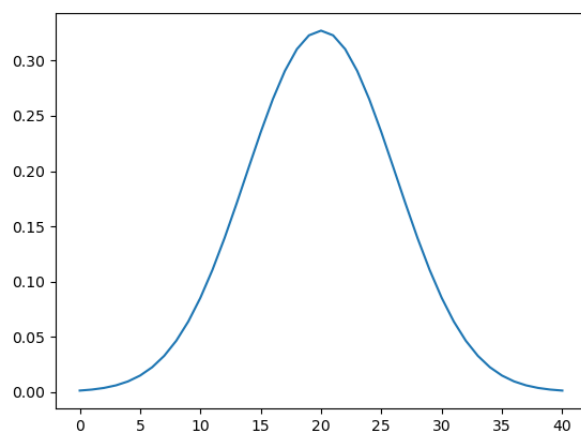
注意到， $q(t)$ 只有在 $[0, LgT]$ 时是 $g(t)$ 的积分，所以在实际操作时，需要将 $g(t)$ 向右平移 $\frac{LgT}{2}$ ；此外，我们可以观察到 $g(t)$ 在全空间积分才是 $\frac{1}{2}$ ，即 $q(LgT)$ 并不是严格的 $\frac{1}{2}$ ，所以在实际操作中，我将 $q(t)$ 进行了归一化处理，使其满足 $q(LgT) = \frac{1}{2}$ 。

当 $Lg = 2$ 时，频率脉冲和相位相应函数如下：





当 $Lg = 4$ 时，频率脉冲和相位相应函数如下：

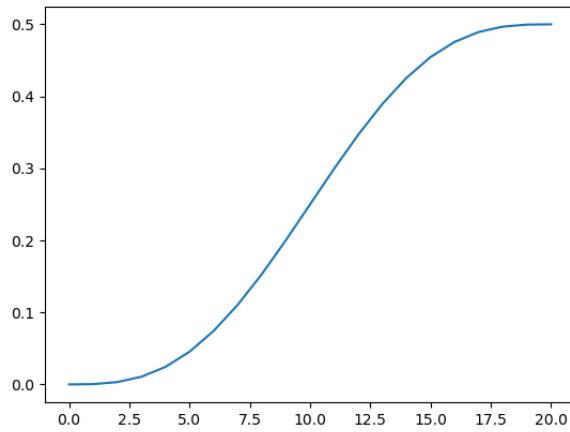
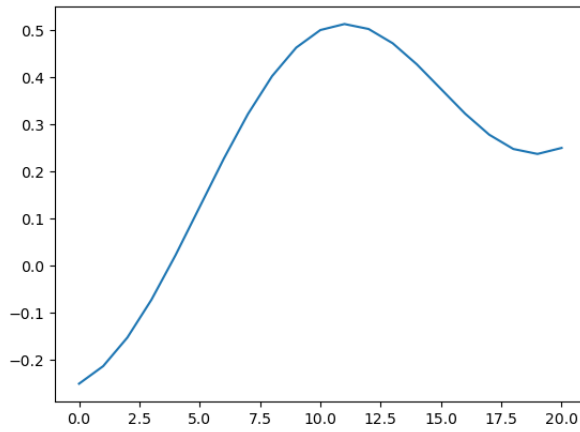


观察到随着 Lg 的增大，频率脉冲的能量越来越向中间“集中”。

对于2RC信号，有：

$$g(t) = \begin{cases} \frac{1}{2LgT} [t - \cos(\frac{2\pi t}{LgT})], & 0 \leq t \leq LgT \\ 0, & \text{otherwise} \end{cases}$$

当 $Lg = 2$ 时，其频率脉冲和相位相应函数如下：



知道 $q(t)$ ，我们就可以对序列 $\{a_n\}$ 进行连续相位调制，将得到的 $s(t, \vec{a})$ 进行发送。

2.2 洛朗分解

数学上可以严谨证明，CPM信号可以分解成一系列PAM波的叠加：

$$s(t, \vec{a}) = \sum_{k=0}^{Q^{\log_2 M} (M-1) - 1} \sum_n \alpha_{n,k} h_k(t - nT)$$

其中 $Q = 2^{Lg-1}$ ，以二元信号(M=2)为例，上式化简为：

$$s(t, \vec{a}) = \sum_{k=0}^{Q-1} \sum_n \alpha_{n,k} h_k(t - nT), \quad 0 \leq k \leq Q-1$$

脉冲 $h_k(t)$ 用如下方法得到：

$$h_k(t) = \prod_{i=0}^{Lg-1} u(t + iT + \beta_{k,i} LT) \quad 0 \leq k \leq Q-1$$

$$u(t) = \begin{cases} \sin[2\pi h q(t)] / \sin(h\pi), & 0 \leq t \leq LgT \\ u(2LgT - t), & LgT < t \leq 2LgT \\ 0, & \text{otherwise} \end{cases}$$

$\beta_{k,i}$ 由k的二进制分解得到：

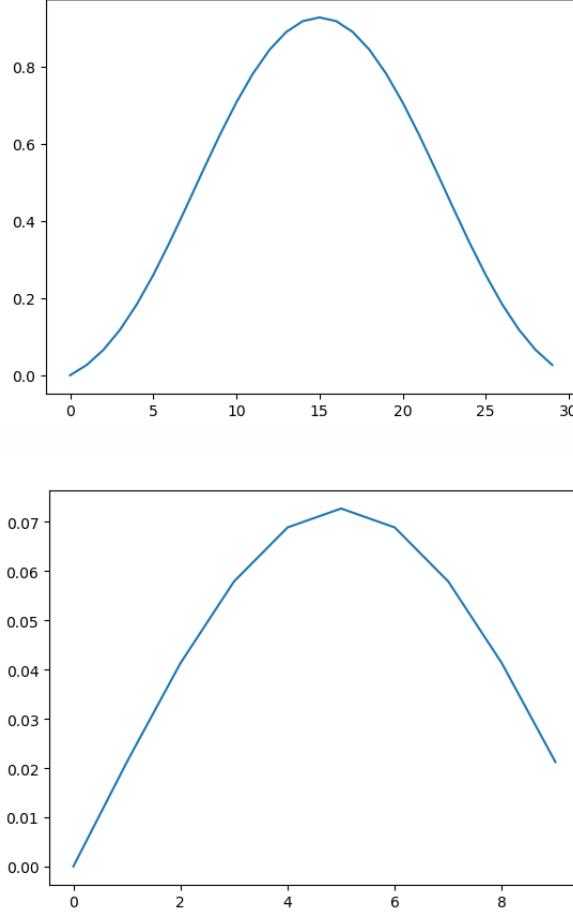
$$k = \sum_{i=1}^{Lg-1} 2^{i-1} \beta_{k,i}$$

$h_k(t)$ 的持续时间由 D_k 决定：

$$D_k = \min\{Lg(2 - \beta_{k,i}) - i\}, \quad 0 \leq i \leq Lg - 1$$

实际场景中可进行优化降低复杂度，详见第六部分。

GMSK信号的 $h_0(t)$ 和 $h_1(t)$ 如下图所示：



伪符号序列 $\alpha_{n,k}$ 由以下公式得到：

$$\alpha_{n,k} = \exp\{jh\pi[\sum_{m=-\infty}^n a_m - \sum_{i=0}^{Lg-1} a_{n-i}\beta_{k,i}]\}$$

实际场景中，我们需要推导出 $\alpha_{k,n}$ 的迭代公式，如对于GMSK信号 $K=1$ 的情况下有：

$$\alpha_n = ja_n \alpha_{n-1}$$

$K=2$ 时有：

$$\begin{aligned} \alpha_{0,n} &= ja_n \alpha_{0,n-1} \\ \alpha_{1,n} &= ja_n \alpha_{1,n-1} \end{aligned}$$

当 $M>2$ 的多元符号时，推导比较复杂，详见附录一。

至此我们得到了CPM调制信号 $s(t, \vec{a})$ 、脉冲 $h_k(t)$ 、序列 $\alpha_{n,k}$ ，注意我们唯一需要发送的只有CPM信号， $h_k(t)$ 和 $\alpha_{n,k}$ 在解调时才会用到。

三、信号传输

通过信道传输后，接收到的信号形式为：

$$r(t) = s(t, \vec{a})e^{j\theta} + w(t)$$

θ 服从于 $[0, 2\pi]$ 的均匀分布， $w(t)$ 是功率谱密度为 n_0 的高斯白噪声。我们需要在 θ 未知的情况下，成功解调出序列 $\{a\}$ ，并使信噪比尽可能逼近相干序列检测。

四、信号接收

在接收端，接收信号要依次经过匹配滤波、白化滤波和维特比解码。该部分的整体框图如下：

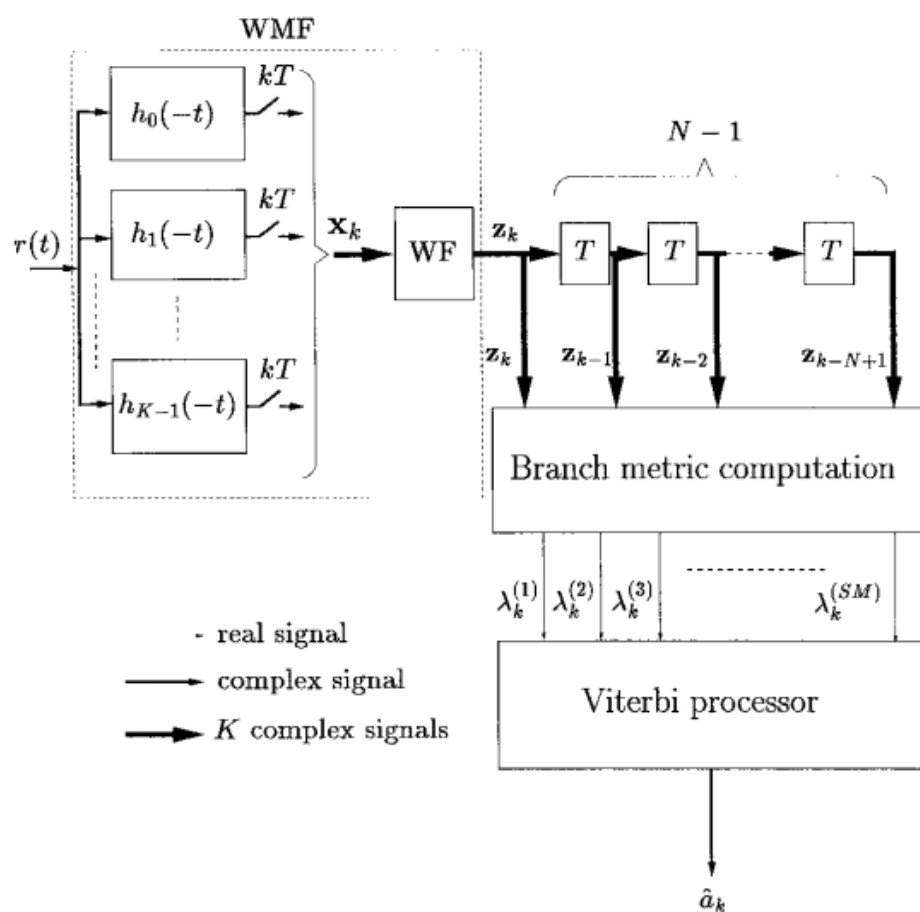


Fig. 1. Noncoherent sequence detection receiver for CPM.

4.1 匹配滤波

即将 $r(t)$ 通过我们课上所学的匹配滤波器得到 $x_{k,n}$ ：

$$x_{k,n} = r(t) \otimes h_k(-t)|_{t=nT}$$

4.2 白化滤波

从先前的工作来看，直接将得到的 $x_{k,n}$ 解调得到的效果很差，其原因在于此时的噪声项并不是规则的高斯白噪声，证明如下：

$$x_{k,n} = r(t) \otimes h_k(-t)|_{t=nT} = s_{k,n} e^{j\theta} + n_{k,n}$$

$$n_{k,n} = w(t) \otimes h_k(-t)|_{t=nT}$$

$$g_{m,k}(t) = h_m(t) \otimes h_k(t)$$

则噪声项的自相关函数为 $\vec{R}_n(m) = 2N_0 \vec{G}_m^T$ ，谱密度矩阵为 $\Phi_n(z) = 2N_0 G^T(z)$ ，显然此时的噪声并不是白噪声，影响了解调，于是该论文提出了白化滤波，将噪声白化后大大提升了解调质量。

在CPM信号的调制解调中，矩阵 $\Phi_n(z)$ 沿着单位圆在大多数情况下都是正定的，即使在一些病态的情况下，比如2RC调制中的 $h_1(t)$ 和 $h_2(t)$ 十分相近，我们也可以通过取平均值的方法消除病态。数学上可以证明，对于这样的正定矩阵 $\Phi_n(z)$ ，即 $G^T(z)$ ，可以进行如下分解：

$$G^T(z) = F(z^{-1}) F^T(z)$$

这时我们只需要将信号通过滤波器 $F^{-1}(z^{-1})$ ，噪声的谱密度矩阵就变为

$$\Phi_w(z) = F^{-1}(z^{-1}) \Phi_n(z) F^{-1T}(z) = 2N_0 F^{-1}(z^{-1}) F(z^{-1}) F^T(z) F^{-1T}(z) = 2N_0$$

离散谱矩阵分解过程由手工完成，详见论文[4]，推导和结果见附录二。

4.3 维特比解码

x_k 经过白化匹配滤波后得到 z_k ，再通过维特比算法(Viterbi Algorithm)解调得到 $\{\hat{a}\}$ ，该论文选用的分支距离(branch metrics)为

$$\lambda(\hat{a}) = \left| \sum_{k=0}^{K-1} \sum_{i=0}^{N-1} z_{k,n-i} \hat{y}_{k,n-i}^* \right| - \left| \sum_{k=0}^{K-1} \sum_{i=1}^{N-1} z_{k,n-i} \hat{y}_{k,n-i}^* \right| - \frac{1}{2} \sum_{k=0}^{K-1} |\hat{y}_{k,n}|^2$$

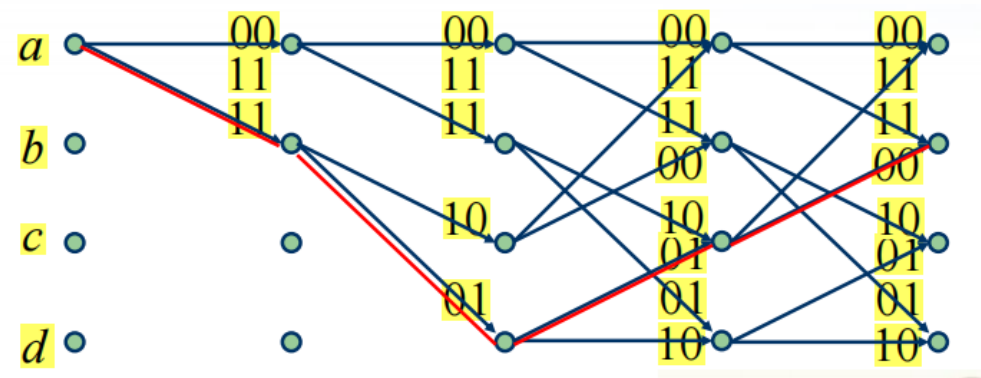
其中

$$y_n = \sum_{l=0}^L F_l^T \alpha_{n-l}$$

但是我们注意到，一次分支距离的计算需要N个 $\{y\}$ ，而这N个 $\{y\}$ 又需要N+L-1个 $\{\alpha\}$ 参与，即对于M元信号一共有 $S = M^{N+L-1}$ 种状态，复杂度太高了，需要进行化简。

对于状态数S（通常情况下是2的整数幂），每个状态代表 $depth = \log_2(S)$ 个符号 $\{\alpha_n, \dots, \alpha_{n-depth+1}\}$ ，剩下的 $\{\alpha_{n-depth}, \dots, \alpha_{n-N-L-2}\}$ 由到达本状态之前的状态替代，为实现最大似然的效果，选择到达本状态时分支距离最大的状态，进而计算本状态到下一步各状态的分支距离，迭代完成解码过程。

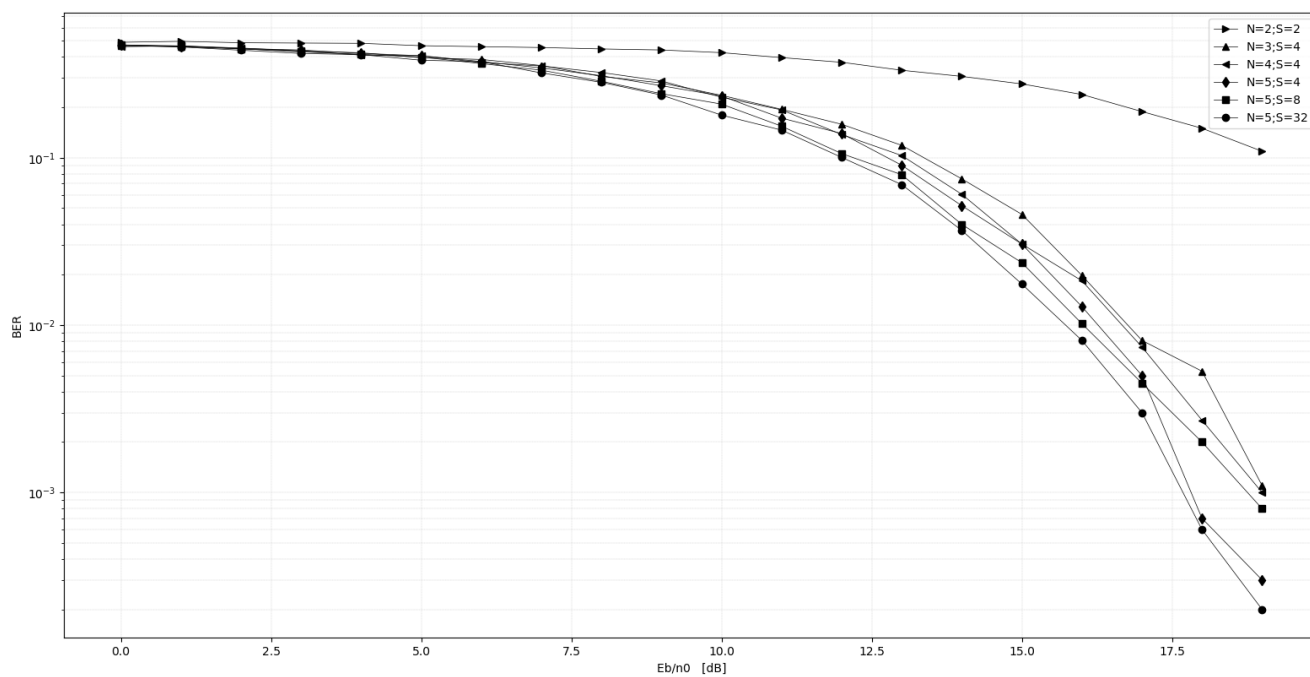
下图可代表 $M = 2, S = 4$ 时的解码过程：



五、实验结果

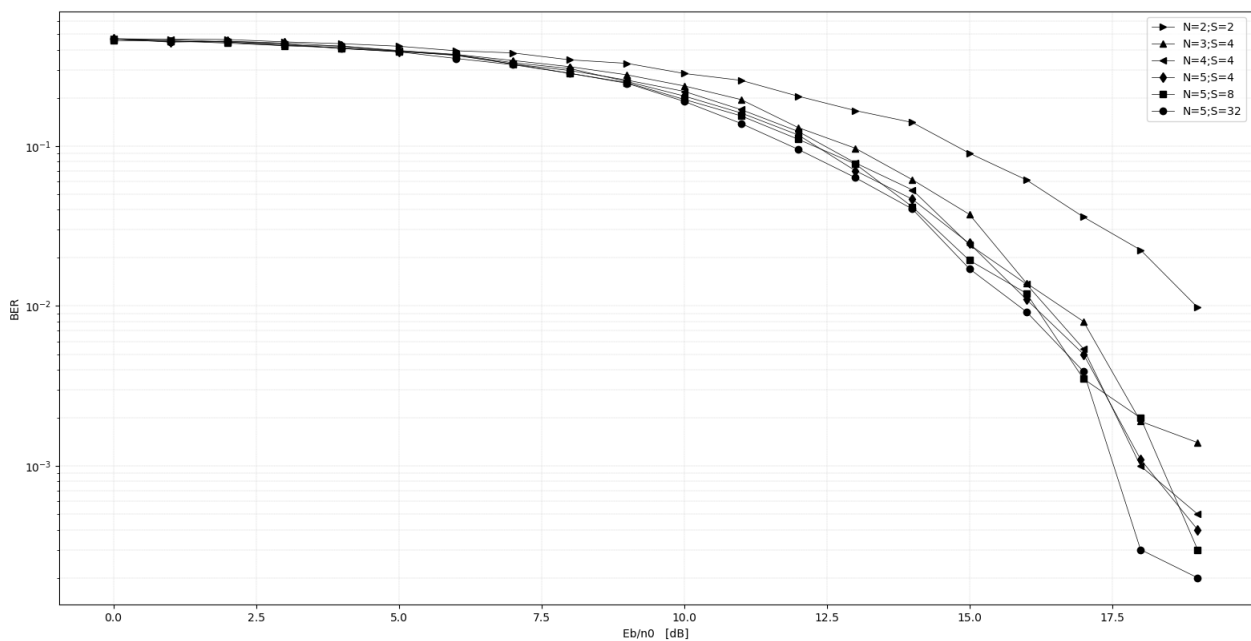
根据经验在 $\{a_n\}$ 序列长度取100000以上时效果较好，但是运行时间太长，故以下图片均为 $\{a_n\}$ 序列长度取10000时测试得到，效果相对会有折扣。

5.1GMSK, K=1



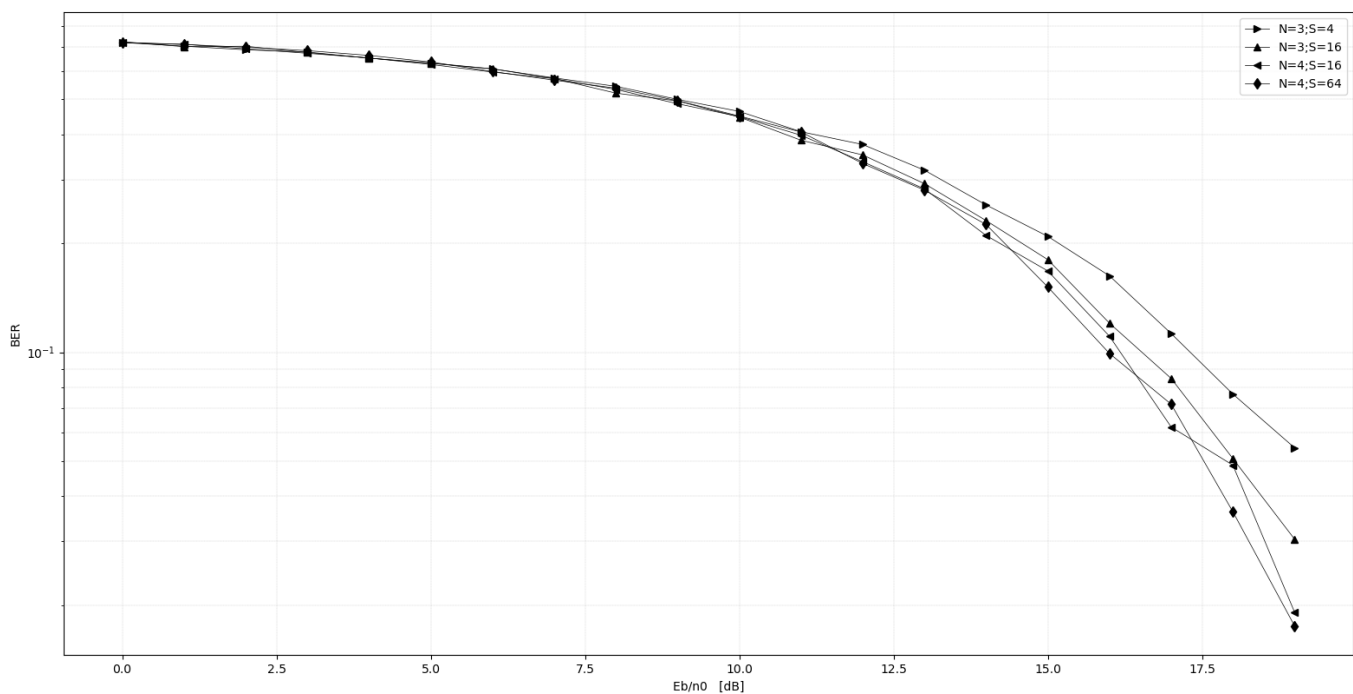
仿真结果与原文相近。BER随SNR的增大而降低；在相同SNR的情况下，BER随S和N的增大而降低。

5.2GMSK, K=2



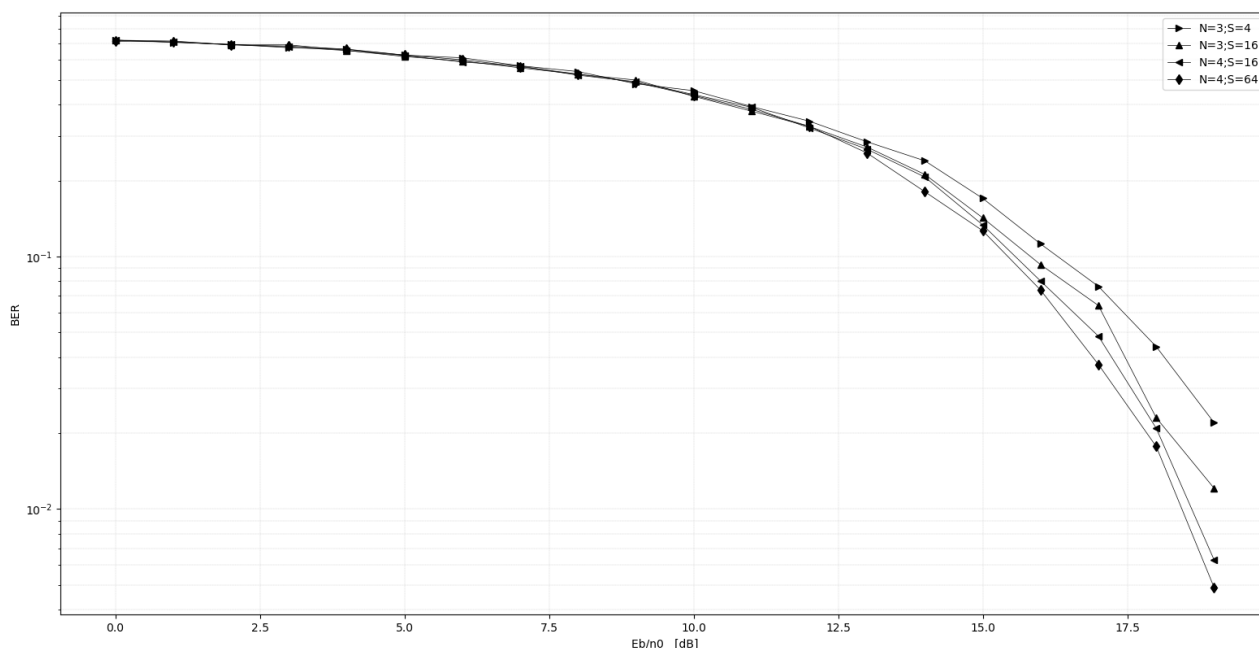
增大K值，发现只有在 $N=2$ ， $S=2$ 得到了明显的改善，其他情况相差不大。推测原因为从报告第二部分可知，GMSK信号的 $h_0(t)$ 幅度是 $h_1(t)$ 的10倍以上，即脉冲的主要信息都在 $h_0(t)$ 上，一般情况下增加K带来的改善不显著；但是 $N=2$ ， $S=2$ 时的状态过于简化，即使增大K带来的微小信息也能有较大改善。

5.3 2RC, K=2



仿真结果与原文相似，但是原文中 $k(3, 1, 1)$ 和 $k = (3, 1)$ 这两条曲线没能理解其意。

5.4 2RC, K=3



增大K值，效果显著变好，可说明 $h_2(t)$ 的引入能够给解调带来较多的信息。

六、代码解读

在本次实验中，我的代码有以下结构：

1.一共有4个文件：

send.py：发送CPM信号

transmit.py：传输信号

receive.py：信号接收与解调

run.py：程序入口，仿真与绘图

程序采用类继承的方式，尽可能复用共有代码。如在发送端， $q(t)$ 、 $u(t)$ 、 $h_k(t)$ 、 $\beta_{k,i}$ 等的生成规则是一样的，将这些函数都写在父类中，对于不同的CPM信号，我们只需要在子类中覆写频率脉冲函数 $g(t)$ 即可完成；又如对于不同元(M)的信号， $h(t)$ 的生成规则是不同的，但实际上2元可以看做是多元的简化版本，因此实际上一个函数即可实现，而不需要分情况讨论。

2.为提高仿真速度，程序中所有连续信号均被离散信号近似替代，积分采用梯形公式，采用Simpson公式可以进一步提高精度，但梯形公式已可满足本次实验。所有连续函数在send.py文末的注释中，时间充裕的话使用连续函数仿真应该会得到更精准的结果。

3.为提高仿真速度，程序中使用了较多的高维数组运算，很多地方“酷似”MATLAB风格，如 $u(t)$ 函数以 $t = Lg$ 为对称轴，故我们只需要计算一半，再用一行代码即可翻折过去：

```
1 | u[l][len(q)-1::-1] = u[l][len(q)-1::-1]
```

4.程序的可扩展性较强。如论文中用的高斯信道，我们可以添加以外的信道；很多函数是可以通用的，而不局限于GMSK和2RC信号；对于暂时没开发的部分，如果调用会发生raise NotImplementedError报错。

5.程序的自动化程度还是不够高。如G(z)矩阵的分解暂时还是用手工来计算的。

七、总结

对我来说这是一次工作量比较大的复现，主要是因为相关知识储备较少，所以在工作前期进展非常缓慢，大部分时间都用在了查阅文献上，比如光GMSK的表达式我就查了一天，因为我竟然查到了好几个版本.....渐渐入门之后工作就快起来了，但我总是不满意代码而推翻重写，我不想写一个只适用这篇论文的代码，我想写出的是，随便给我一个新的CPM信号，我5分钟就能把它跑出来的那种代码，最终也算有所小成，毕竟我只需要覆写一下 $g(t)$ 函数，可能5分钟都用不上。

总的来说本次实验锻炼了我从0(约等于)到1的过程，我感觉自己写代码的能力也得到了提升。

八、参考文献

[1]https://en.wikipedia.org/wiki/Continuous_phase_modulation

[2]<https://www.southampton.ac.uk/~sqc/EL334/Coh-non.pdf>

[3]Decomposition of Mary CPM Signals into PAM Waveforms

[4]The factorization of discrete- process spectral matrices

附录一：多元CPM信号分解

相比于2元的情况，多元CPM信号的分解比较复杂，首先我们根据M得到P

$$2^{P-1} < M \leq 2^P$$

对于 $0 \leq l \leq P-1$ ，有

$$u^{(l)}(t) = \begin{cases} \sin[2\pi h^{(l)} q(t)] / \sin(h^{(l)} \pi), & 0 \leq t \leq LgT \\ u^{(l)}(2LgT - t), & LgT < t \leq 2LgT \\ 0, & \text{otherwise} \end{cases}$$

$$h_k^{(l)}(t) = \prod_{i=0}^{Lg-1} u^{(l)}(t + iT + \beta_{k,i}LT) \quad 0 \leq k \leq Q-1$$

$$b_{n,k}^{(l)} = \exp\{jh^{(l)}\pi[\sum_{m=-\infty}^n a_m - \sum_{i=0}^{Lg-1} a_{n-i}\beta_{k,i}]\}$$

$$\alpha_{0,n} = b_{0,n}^0 b_{0,n}^1$$

$$\alpha_{1,n} = b_{1,n}^0 b_{1,n}^1$$

$$\alpha_{2,n} = b_{2,n}^0 b_{2,n}^1$$

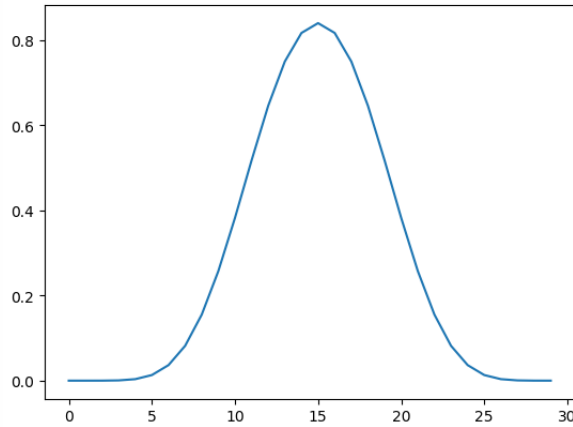
$$\dots\dots\dots$$

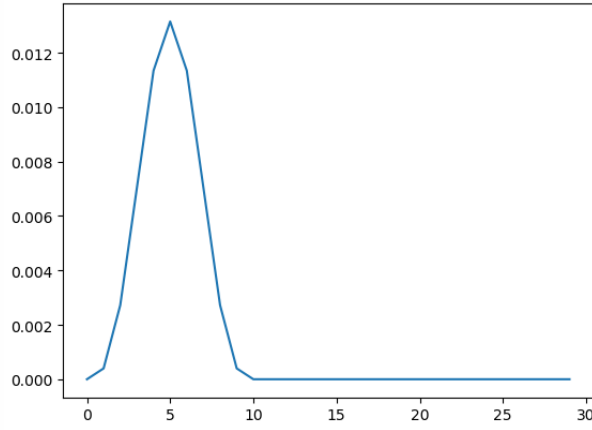
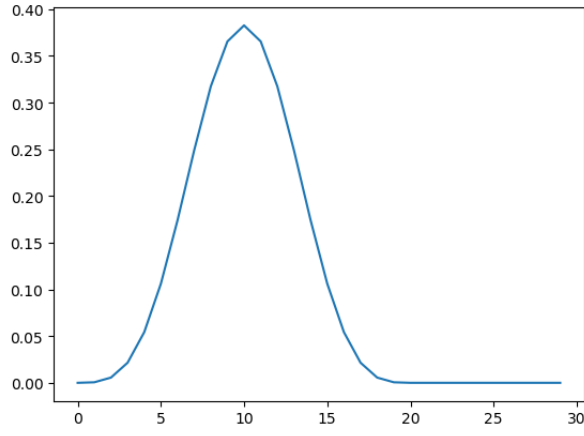
此时得到的 $h_k^{(l)}(t)$ 并不是最终的脉冲函数，还需要进行一系列规则的对应乘加，对2RC信号，即M=4时，论文[3]给出了如下对应表格：

TABLE V
LAURENT FUNCTIONS FOR $M = 4, L = 2$

k	j	m	$\mathbf{e}_j^{(m)}$		$g_k(t)$	$a_{k,n}$
0	0	0	0	0	$c_0^{(0)}(t) c_0^{(1)}(t)$	$b_{0,n}^{(0)} b_{0,n}^{(1)}$
1		1	0	1	$c_0^{(0)}(t+T) c_0^{(1)}(t)$	$b_{0,n-1}^{(0)} b_{0,n}^{(1)}$
2		2	1	0	$c_0^{(0)}(t) c_0^{(1)}(t+T)$	$b_{0,n}^{(0)} b_{0,n-1}^{(1)}$
3		3	0	2	$c_0^{(0)}(t+2T) c_0^{(1)}(t)$	$b_{0,n-2}^{(0)} b_{0,n}^{(1)}$
4	1	4	2	0	$c_0^{(0)}(t) c_0^{(1)}(t+2T)$	$b_{0,n}^{(0)} b_{0,n-2}^{(1)}$
5		0	0	0	$c_1^{(0)}(t) c_0^{(1)}(t)$	$b_{1,n}^{(0)} b_{0,n}^{(1)}$
6		1	1	0	$c_1^{(0)}(t) c_0^{(1)}(t+T)$	$b_{1,n}^{(0)} b_{0,n-1}^{(1)}$
7	2	2	2	0	$c_1^{(0)}(t) c_0^{(1)}(t+2T)$	$b_{1,n}^{(0)} b_{0,n-2}^{(1)}$
8		0	0	0	$c_0^{(0)}(t) c_1^{(1)}(t)$	$b_{0,n}^{(0)} b_{1,n}^{(1)}$
9		1	0	1	$c_0^{(0)}(t+T) c_1^{(1)}(t)$	$b_{0,n-1}^{(0)} b_{1,n}^{(1)}$
10	3	2	0	2	$c_0^{(0)}(t+2T) c_1^{(1)}(t)$	$b_{0,n-2}^{(0)} b_{1,n}^{(1)}$
11		0	0	0	$c_1^{(0)}(t) c_1^{(1)}(t)$	$b_{1,n}^{(0)} b_{1,n}^{(1)}$

K=3时， $g_k(t), k = 0, 1, 2$ 脉冲序列波形分别如下：





附录二、离散谱矩阵分解

以比较简单的GMSK、K=1的情况为例， $G^T(z) = G(z) = g_{-2}z^{-2} + g_{-1}z^{-1} + g_0z^0 + g_1z^1 + g_2z^2$ ，其中 $g_{-2} = g_2, g_{-1} = g_1$ ，设其零点为 $z_i, i = 0, 1, 2, 3$ ，且 $|z_0| < \dots < |z_1|$ ，则有 $F = \frac{(1-z_0)(1-z_1)}{\sqrt{\sum g_i([1, -z_0] \otimes [1, -z_1])}}$

GMSK、K2时，有

$$F(z) = \begin{bmatrix} 0.08024 + 0.6558z^{-1} + 0.4442z^{-2} & 0.2305 + 0.45977z^{-1} \\ 0.0263 & 0.0421 \end{bmatrix}$$

2RC、K2时，有

$$F(z) = \begin{bmatrix} 0.1187 + 0.6935z^{-1} & -0.0935 \\ 0.01723 + 0.1282z^{-1} & -0.11299 + 0.1558z^{-1} \end{bmatrix}$$

2RC、K=3时，有

$$F(z) = \begin{bmatrix} 0.1532 + 0.6015z^{-1} & -0.0302 + 0.2923z^{-1} & -0.1279 \\ 0.2044 + 0.0379z^{-1} & -0.019193 + 0.1778z^{-1} & -0.07903 \\ 0.0053 & 0.0028 & 0.0043 \end{bmatrix}$$

附录三、实验参数设置

GMSK:

1	BT = 0.25
2	h = 0.5
3	T = 1
4	Es = 1
5	Lg = 2
6	fs = 10
7	BT = 0.25
8	M = 2
9	L = 2

RC:

1	BT = 0.25
2	h = 0.25
3	T = 1
4	Es = 2
5	Lg = 2
6	fs = 10
7	M = 4
8	L = 1